

إزالة الكروم من مياه الصرف الناتجة عن صناعة دباغة الجلود

باستخدام البيلون الحبّي¹

المهندسة سونيا عباسى²
الدكتورة هند وهبة³

الدكتور محمد سعيد المصري⁴

الملخص

تعد صناعة دباغة الجلود من أقدم الصناعات في العالم والتي ينتج عنها مخلفات سائلة وصلبة مختلفة، وتعد المخلفات السائلة الحاوية على الكروم من أكثر مخلفات هذه الصناعة تلويناً للبيئة.

جرى في البحث الحالي إيجاد طريقة جديدة لإزالة الكروم من مياه الصرف الصناعي الناتجة عن دباغة الجلود باستخدام البيلون الحبّي.أوضحت التجارب المخبرية التي أجريت على عينات حضرت مخبرياً وعينات حقيقة جمعت من بعض معامل الدباغة في مدينة دمشق، أنه يمكن إزالة الكروم بشكل فعال إذ تراوحت نسبة إزالة الكروم من المحلول بين 95-98%.حددت الشروط المثلث لعملية معالجة مياه الدباغة بواسطة البيلون الحبّي فكانت $pH=4$ وتركيز البيلون 20 g L^{-1} عندما يكون تركيز الكروم 2 g L^{-1} وזמן المكوث 6 ساعات ودرجة حرارة المحلول 30°C باستخدام بيلون ذي نصف قطر حبيبي أصغر من 90 ميكروناً. دلت نتائج تطبيق نموذج فرينديليش ونموذج لاغمير لدراسة طبيعة ارتباط الكروم ببillerات البيلون الحبّي أنَّ أيون الكروم تتبادل مع الأيونات القابلة للتتبادل في البيلون. ولهذا جرى دراسة الأثر التنافسي للأيونات الأخرى الموجودة في المحلول على موقع التبادل. على أية حال، تعد الطريقة المقترحة حلًّا بيئياً آمناً لمعالجة مخلفات صناعة دباغة الجلود في سوريا.

الكلمات المفتاحية: الكروم، صناعة الدباغة، البيلون الحبّي، معالجة مياه الصرف الصناعي.

¹ عُدَّ البحث في سياق رسالة الدكتوراه للمهندسة سونيا عباسى بإشراف الأستاذة الدكتورة هند وهبة وبمشاركة الأستاذ الدكتور محمد سعيد المصري وبدعم مالي من هيئة الطاقة الذرية.

² قسم الهندسة البيئية - كلية الهندسة المدنية- جامعة دمشق.

³ قسم الهندسة البيئية - كلية الهندسة المدنية- جامعة دمشق.

⁴ قسم الوقاية والأمان، هيئة الطاقة الذرية السورية.

مقدمة:

أدى التطور السريع للصناعات المختلفة بما فيها تعدين معدن الحديد وصهره وصناعة سفل السطوح وإنتاج الطاقة والنفط وصناعة الأسمدة والمبيدات وعلم المعادن للحديد والحديد غير القابل للصدأ والطلبي الكهربائي والتحليل الكهربائي وصناعة الجلد والتصوير وصناعة التطبيقات الكهربائية ومعالجة السطوح المعدنية والطاقة الذرية وغيرها إلى طرح النفايات في البيئة وتحرر المعادن السامة بشكل مباشر أو غير مباشر، مما أدى إلى تلوث مكونات البيئة المختلفة^[3].

وتعد صناعة دباغة الجلد من الصناعات التي أسهمت بتلوث البيئة، ولاسيما عندما تطورت في مطلع القرن العشرين حيث استخدمت أملاح الكروم والمواد الملونة عوضاً عن الدوابع النباتية^[7, 10].

أجريت دراسات عالمية مفصلة حول إزالة الملوثات المعدنية من مياه الصرف الصناعي بطرق عديدة كالترسيب الكيميائي والتبادل الأيوني والمعالجة الكهروكيميائية وتقنيات الأغشية والامتزاز على الكربون الفعال وغيرها^[4, 9]. وبينت نتائج هذه الدراسات عدم جدوى الترسيب الكيميائي والمعالجة الكهروكيميائية في حال التراكيز المنخفضة من أيونات المعادن في المحلول المائي (ما دون المجال 10-1 ملغ ل⁻¹)، فضلاً عن إنتاج كمية كبيرة من النفايات والتي تكون معالجتها أكثر صعوبة، بينما دلت النتائج أن طرائق التبادل الأيوني والأغشية الرقيقة والامتزاز على الكربون مكلفة جداً وبالأخص عندما يراد معالجة كميات كبيرة من المياه. ولهذا سعى الباحثون إلى إيجاد طرائق عملية كامتزاز أيونات المعادن على الكتل الحيوية الطبيعية (Biomass) والتي تتميز بشكلٍ فعال بخاصية احتجاز الأيونات من محاليل معقدة التركيب وذات التمدد العالي والحجم الكبير^[13].

فضلاً عن ذلك، استخدمت المواد الطبيعية (Natural Materials) في إزالة المعادن الثقيلة كالغضار المعدي المتميز بسعته التبادلية الكاتيونية العالية كالمونتموريانيت

[2] والألوفين (allophane) [11] والسيوليت (sepiolite) [3] والبنتونيت (bentonite) [15]. تعتمد إزالة الكاتيونات المعدنية بواسطة الغبار على عدة عوامل منها خواص الغبار الكهربائية وعلى الخصائص الحامضية والقواعدية للغبار وطبيعة الأيون المعدني نفسه (نصف قطره وحجم شحنته وقوتها) وتركيز المعدن والأيونات المنافسة في محلول درجة حرارة [2]. ولهذا استخدم البيلون بشكل واسع لإزالة الملوثات المعدنية [1] بما فيها النظائر المشعة من المحاليل المائية [6]. فقد استخدم مؤخراً معالجة مياه الصرف الصناعي (مياه الجفت) الناتجة عن معاصر الزيتون [15]، ومعالجة مياه صرف معامل الصباغة [18]، كما استعمل البيلون الحلبي كحامل في التحليل باستخدام الكروماتغرافيا [16، 17]. فضلاً عن ذلك، فقد استخدم البيلون في امتصاص الملوثات العضوية في مياه الصرف الصناعي [12، 14].

تعد صناعة دباغة الجلد في سوريا من الصناعات الإستراتيجية المهمة، فهي توفر حاجة القطر ذاتياً من الجلود المدبغة. فقد شهد القطر تطوراً واسعاً في صناعة دباغة الجلود، إذ يوجد أكثر من 280 دباغة متمركزة في محافظتي دمشق وحلب، بعضها صغير والآخر متوسط. وقد توضعت مصانع وورشات الدباغة في دمشق عشوائياً على ضفاف نهر بردى ضمن الأراضي الزراعية. مما أدى إلى ظهور ملوثات عديدة في مياه الصرف الناتجة عنها كالكبريت والكروم والزيوت والشحوم وغيرها، تجاوز بعضها الحدود المسموح بها للاقائه في شبكة الصرف الصحي ناهيك عن طرح هذه النفايات السائلة في مجرى نهر بردى، مما أدى إلى ظهور آثار سلبية في التربة والماء والهواء للمناطق الزراعية المجاورة.

هدف البحث الحالي إلى دراسة إمكانية إزالة الكروم من مياه الصرف الناتجة عن دباغة الجلود باستخدام البيلون الحلبي المتواافق طبيعياً بكميات كبيرة في مدينة حلب وبتكلفة منخفضة. وتعود قدرة البيلون الحلبي على إزالة المعادن من المحاليل المائية

إلى تركيبه الألمنيوسيليكا ($\text{Al}_4\text{Si}_8\text{O}_{20} \cdot n\text{H}_2\text{O}$) وبنيته الهيكلية المميزة التي تجعله مناسباً لإزالة المعادن الثقيلة (ولاسيما الكروم) من المياه الملوثة الناتجة عن دباغة الجلود.

تسهم عملية معالجة مياه الصرف الصناعي الناتجة عن صناعة الدباغة في حماية البيئة والإنسان والاستفادة من المياه المعالجة اقتصادياً دون الحاجة إلى طرائق مرتفعة الكلفة كالمبادرات الأيونية الصناعية.

1. المواد والطرائق:

1.1. المواد المستخدمة:

البيلون الطبيعي – حمض الأزوت تركيز 65% – حمض الفلور تركيز 40% –
كربيريات الكروم الصلبة $\text{Cr}_2(\text{SO}_4)_3$.

1.2. جمع العينات وتحضيرها :

1.2.1. التحضير الأولى للبيلون:

جرى جمع قرابة 5 كغ من البيلون الحلي من مدينة حلب (منطقة تل عجار). طحنت العينة بالمطحنة والهاون، ثم جرت مجانستها بجهاز التجانس مدة 24 ساعة، ومن ثم مررت العينة عبر مناخل بقياسات حبيبية متعددة: (-150, 300-150, 850-300, >850, 90<) ميكرونًا، وخزنلت في عبوات محكمة الإغلاق لحمايتها من الرطوبة.

1.2.2. تحليل عينات البيلون الخام :

أجرينا مجموعة من التحاليل على البيلون الخام لتحديد خواصه وهي.

• تعين التركيب الميكانيكي للبيلون:

جرى تعين التركيب الميكانيكي للبيلون المستخدم في التجارب باستخدام طريقة المكثاف (Hydrometer).

• **تعيين التركيب الكيميائي للبليون:**

جرى تعيين التركيب الكيميائي للبليون بواسطة تقانة الامتصاص الذري وفق الطريقة الآتية:

جرت معالجة 0.5 غ من البليون بواسطة 5 مل من حمض الآزوت تركيز (%) 65 و 5 مل من حمض الفلور بتركيز (%) 40. سخن المزيج إلى درجة حرارة 100°C مدة يومين حتى التهضيم الكامل. مدد المحلول الناتج إلى 25 مل وقيست العينات بواسطة مطياف الامتصاص الذري من نوع (Perkin-Elmer 2380).

1.2.3 جمع عينات مياه صرف دباغة الجلوود

جرت جمع أربع عينات لمياه صرف صناعي (3 ل لكل عينة) من أربعة معامل للدباغة في منطقة الزبطاني في مدينة دمشق (من براميل الدباغة) بهدف اختبار الطريقة المقترحة لإزالة الكروم منها. وقبل البدء بإجراء التجارب باستخدام العينات الحقيقية، جرى تعيين محتواها من الأيونات المعدنية بواسطة تقانة الامتصاص الذري وفق الطريقة الآتية:

- جرت إضافة 1مل من مياه الدباغة إلى 10 مل من حمض الآزوت بتركيز (%) 65.
- سُخن المزيج بواسطة جهاز التسخين إلى درجة حرارة 100°C إلى قرب الجفاف.
- أضيف مرة أخرى حمض الآزوت وسخنت العينة إلى قرب الجفاف. أعيدت هذه التجربة ثلاثة مرات حتى التأكد من عدم وجود مواد منحلة وإتمام عملية التهضيم.
- وبعد الجفاف جرت إضافة 1 مل من حمض الآزوت وأكمل الحجم إلى 25 مل ماء مقطراً.
- وبعد ذلك حللت العينات بواسطة جهاز الامتصاص الذري من نوع (Elmer 2380).

1.2.4. تحضير محلول صنعي لمياه الدباغة:

1.2.5. لتحديد الشروط المثلث لإزالة الكروم من البيلون، جرى تحضير محلول صنعي من الكروم يحتوي على أيون الكروم بتركيز قريبة من تركيزه في مياه الدباغة وذلك بإضافة 39 غ من ملح كبريتات الكروم $\text{Cr}_2(\text{SO}_4)_3$ (وهو الملح المستخدم في دباغة الجلود) إلى 1 ل من الماء المقطر ليصبح تركيز الكروم في محلول 10 غ ل⁻¹.

أما المعاملات التي جرت دراستها لتحديد الشروط المثلث لإزالة الكروم من مياه صرف الدباغات فهي:

- أ- تعين أفضل حجم حبيبي للبيلون لإزالة الكروم.
- ب- تأثير تغيير درجة حرارة تجفيف البيلون في النسبة المئوية المزالة من الكروم.
- ت- تعين زمن التوازن.
- ث- تأثير تركيز البيلون في النسبة المئوية المزالة.
- ج- تأثير تغيير حموضة الوسط في النسبة المئوية المزالة.
- ح- تأثير تغيير حرارة الوسط في النسبة المئوية المزالة.
- خ- تأثير وجود الكاتيونات المنافسة في النسبة المئوية المزالة من الكروم.

2. النتائج والمناقشة:

2.1. التركيب الميكانيكي والكيميائي للبيلون المستخدم:

يبين الجدول رقم (1) تركيب تربة البيلون وفقاً لترجمه الحبي إذ يلاحظ أن البيلون يتتألف من نسبة لا يأس منها من الغبار تصل إلى 48% مع نسبة مماثلة تقريباً من الرمل إذ لا تختلف نسب هذين التركيبين من تربة ذات حجم حبي كبير أو صغير، في حين اختلفت نسبة السيليت من حجم حبي وآخر. يبين الجدول (2) تركيز بعض العناصر المعدنية في حبيبات البيلون (ملغ كغ⁻¹). يلاحظ من الجدول (2) أن تركيز العناصر الميسقة لانتعاش بتغيير حجم حبيبات البيلون. فضلاً عن ذلك، يبين الجدول

(3) بعض الخواص الفيزيائية والكيميائية للبليون المستخدم في البحث إذ يلاحظ أن سعة التوصيل الكهربائي تزداد مع تناقص حجم الحبيبات، أما تركيز الأيونات الذائبة في محلول و الكاتيونات المترادفة فيلاحظ أنها لا تتغير باختلاف حجم الحبيبات.

الجدول (1) تركيب تربة البليون وفقاً للتوزع الحبي

رمل(%)	سلس(%)	غضار(%)	نصف قطر حبيبات البليون (ميكرن)
40.87	17.99	41.13	<90
51.41	7.67	40.92	90-150
46.15	7.69	46.15	150-300
48.85	2.56	48.59	300- 850

الجدول (2) التركيب الكيميائي للبليون وفق التوزع الحبي(التركيز ملغ كغ -1)

العنصر	<90 ميكرون	150-90 ميكرون	300-150 ميكرون	(850-300) ميكرون
Na	0.3 ± 0.0	0.3 ± 0.0	0.3 ± 0.0	0.2 ± 0.0
Fe	48.4 ± 0.7	51.5 ± 0.8	53.7 ± 0.7	48.6 ± 12.4
Cr	0.3 ± 0.0	0.3 ± 0.0	0.3 ± 0.0	0.3 ± 0.0
Ni	0.3 ± 0.0	0.3 ± 0.0	0.3 ± 0.0	<0.05
Co	<0.05	<0.05	<0.05	4.5 ± 0.6
K	5.0 ± 0.1	5.3 ± 0.1	2.2 ± 0.2	32.1 ± 2.7
Mg	39.0 ± 3.6	40.3 ± 1.9	33.6 ± 0.4	38.1 ± 2.4
Ca	56.6 ± 6.5	54.6 ± 0.1	50.8 ± 1.3	

الجدول (3) بعض الخواص الكيميائية والفيزيائية للبليون

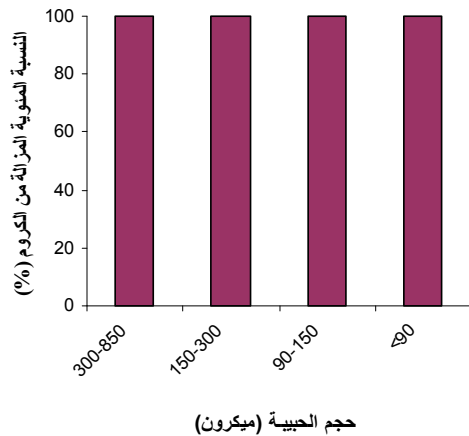
الكاتيونات المترادفة		الأيونات الذائية ميلي مكافئ لـ $^{1-}$								النطاط الحبي للبليون (ميكرن)	pH	النطاط الكهربائي ميكروسمنز $^{1-}$ سم		
ميلي مكافئ لكل 100 غ (تربة)	الكاتيونات	الأيونات												
Mg ⁺⁺	Ca ⁺⁺	K ⁺	Na ⁺	الكلية	Mg ⁺⁺	Ca ⁺⁺	K ⁺	Na ⁺	SO ₄ ²⁻	HCO ₃ ⁻	Cl ⁻			
30.19	29.37	0.79	0.78	61.64	0.72	0.41	0.07	0.60	0.93	0.31	0.56	180	7.61	<90
31.69	29.46	0.74	0.62	52.05	0.65	0.42	0.06	0.56	0.42	0.62	0.64	161	7.58	150-90
29.26	29.40	0.64	0.71	64.25	0.63	0.36	0.04	0.60	0.34	0.62	0.67	146	7.22	300-150
29.77	28.48	0.58	0.68	52.92	0.44	0.44	0.03	0.59	0.23	0.62	0.66	138	6.53	850-300

2. الشروط المثلث لإزالة الكروم باستخدام البليون:

أ- تعين أفضل حجم حبي من البليون لإزالة التلوث بالكروم:

يبين الشكل (1) تأثير حجم حبيبات البليون في النسبة المئوية المزالة من الكروم. يلاحظ من الشكل أنه لا يوجد أثر واضح لاختلاف حجم حبيبات البليون في فعالية إزالة الكروم من محلول، إذ بلغت النسبة المئوية المزالة من الكروم 100% عند

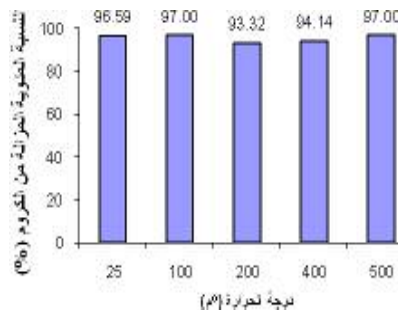
استخدام بيلون ذي نصف قطر حبيبة أقل من 90 ميكرونًا، وربما تشير هذه النتيجة بشكل مبدئي أن إزالة الكروم لا تتم عن طريق الامتزاز الذي يتأثر بالسطح الفعال للسطح الماز (البيلون) والذي يزداد بزيادة نعومة المادة.



الشكل 1. تأثير حجم حبيبات البيلون في النسبة المئوية المزالة من الكروم.

ب- تأثير درجة تجفيف البيلون في إزالة الكروم:

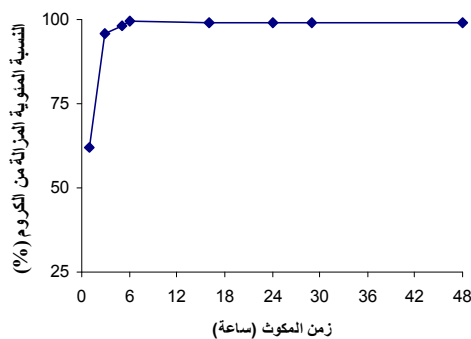
يبين الشكل (2) تأثير درجة تجفيف البيلون في كمية الكروم المزالة من المحلول. إذ يلاحظ أن تجفيف البيلون ليس له تأثير ملحوظ في نسبة الإزالة، وأن درجة الحرارة العادية 25-30 درجة مئوية تعطي نسبة إزالة نحو (96.59%). ويفسر ذلك بأن تسخين البيلون لا يؤثر في زيادة موقع ارتباط الكروم على البيلون.



الشكل 2. تغير نسبة الكروم المزالة مع تغيير درجة حرارة تجفيف البيلون

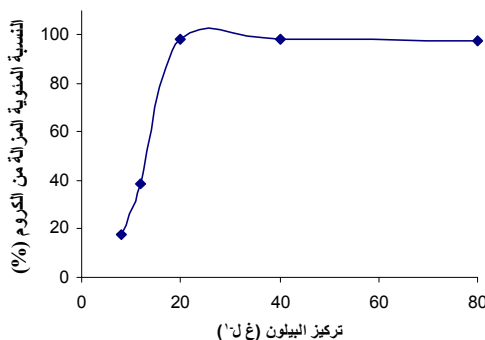
ت- تأثير زمن المكوث:

يبين الشكل(3) تأثير زمن مكوث البيلون في المحلول في نسبة إزالة الكروم باستخدام البيلون ذي نصف قطر حبي <90 ميكروناً. يلاحظ من الشكل أن نسبة الإزالة تزداد مع زيادة زمن المكوث وبلغت قيمة عظمى قدرها 97.96% خلال 6 ساعات وكلما ازداد زمان المكوث ازدادت فرصة ارتباط أيونات الكروم بموقع الارتباط بالبيلون إلى أن بلغت قيمة عظمى وقدرها 99.58 % بعد 8 ساعات، حيث لم يعد لزيادة الزمن أي تأثير في نسبة الإزالة لانهيار كامل أيونات الكروم من المحلول.



الشكل 3. تغير نسبة الكروم المزالة مع زمن المكوث

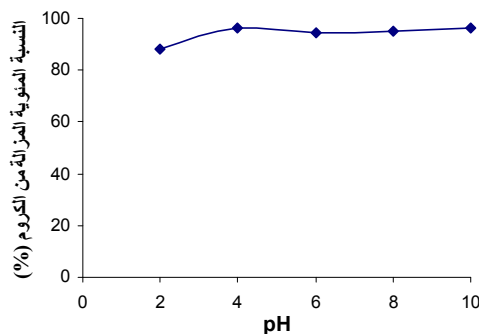
ثـ- تأثير تركيز البيلون في المحلول في النسبة المئوية المزالة من الكروم: يبين الشكل (4) تأثير تركيز البيلون في المحلول في النسبة المئوية المزالة من الكروم. ويلاحظ من الشكل (4) ازدياد نسبة الإزالة بازدياد تركيز البيلون المستخدم في المحلول إلى أن يصل تركيز البيلون إلى 20 g L^{-1} فتصبح نسبة الإزالة 98.15%， وتعود هذه التابعية إلى الحقيقة أنه كلما ازداد تركيز البيلون في المحلول ازدادت موقع الارتباط المتوفرة لارتباط الكروم مع البيلون.



الشكل 4. تغير نسبة الكروم المزالة مع تغير تركيز البيلون في المحلول

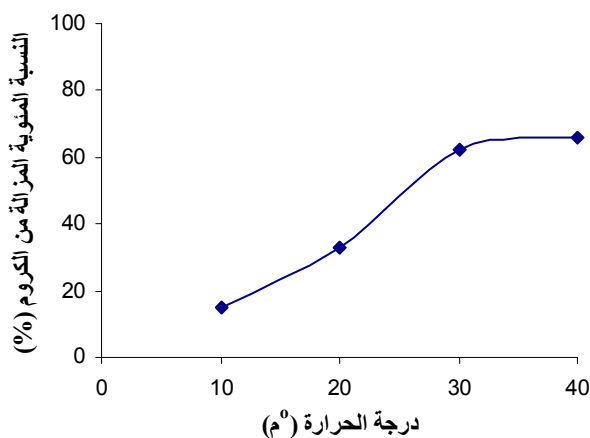
جـ- تأثير تغيير درجة حموضة الوسط في النسبة المئوية المزالة: يبين الشكل (5) تأثير تغيير حموضة الوسط في النسبة المئوية المزالة للكروم، إذ يلاحظ أنه يمكن إزالة الكروم من محليل ذات درجات حموضة مختلفة وبفاءة تقارب 85% من أجل المحاليل الحامضية ($\text{pH} = 2$) وتزداد هذه الكفاءة لتجاوز 90% في المحاليل ذات الرقم الهيدروجيني الأعلى، وعندما يصبح المحلول قليلاً ($\text{pH} = 10$) يتربس الكروم على هيئة هيدروكسيد، ولهذا فإن $\text{pH} = 4$ هي الأفضل لإزالة الكروم من المحلول باعتماد نصف قطر حبي للبيلون $< 90 \text{ ميكروناً}$ ، وهي قريبة درجة حموضة مياه الدباغة ($\text{pH} = 3.5-4$). ومن جهة أخرى، تتنافس أيونات الهيدروجين والكروم في المحاليل ذات الرقم الهيدروجيني المنخفض (المحاليل الحامضية) على

موقع الارتباط بالبليون، فكلما ازدادت درجة الحموضة انخفض عدد أيونات الهيدروجين وازدادت فرصه ارتباط الكروم على البليون، مما يؤدي إلى زيادة نسبة الإزالة.



الشكل 5. تأثير درجة حموضة محلول في النسبة المئوية المزالة من الكروم

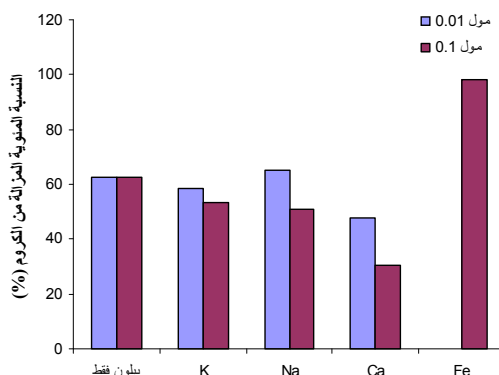
ح- تأثير تغير درجة حرارة مياه الصرف الصناعي في النسبة المئوية المزالة: يبيّن الشكل (6) تأثير تغيير درجة حرارة الوسط المائي على النسبة المئوية المزالة¹ للكروم وذلك باعتماد نصف قطر حبيبي <90 ميكروناً وتركيز البليون 20 غ لـ وزمن مكوث ساعة واحدة. ويلاحظ من الشكل (6) ازدياد كفاءة إزالة الكروم بازدياد درجة حرارة محلول من 15% عند الدرجة 10°C إلى 66% عند الدرجة 40°C. ويعزى ذلك إلى ازدياد سرعة ارتباط الكروم على البليون كلما ازدادت درجة حرارة الوسط، ولهذا ينصح باستخدام درجات حرارة أقل من 40°C تجنباً لازدياد كلفة عملية الإزالة. على أية حال، يفضل استخدام درجة حرارة الغرفة لإزالة الكروم والتي تعطي نسبة إزالة قدرها 62.46% لزمن مكوث قدره ساعة واحدة.



الشكل 6. تأثير درجة حرارة الوسط في النسبة المئوية المزالة من الكروم.

خ- تأثير وجود الكاتيونات المنافسة في إزالة الكروم:

يبين الشكل (7) تأثير وجود بعض الكاتيونات في المحلول في إزالة الكروم وذلك باستخدام بيلون ذي نصف قطر حبي > 90 ميكرونًا وتركيز 20 غ ل^{-1} . جرت مقارنة تركيزين للأيونات المنافسة (0.01 و 0.1 مول ل^{-1}). بيّنت النتائج أن التراكيز المنخفضة من الكاتيونات لا تؤثر بشكل واضح في نسبة إزالة الكروم، في حين أدت التراكيز المرتفعة إلى خفض تركيز الكروم المزال من المحلول، ويعود ذلك إلى أن ازدياد تركيز الكاتيونات في المحلول أدى إلى خفض موقع الارتباط على البيلون وتنافس الكروم عليها. كما يلاحظ أن وجود أيونات الحديد بتركيز مرتفعة قد أدى إلى إزالة كاملة للكروم من المحلول نتيجة تشكيل ماءات الحديد التي تؤدي دوراً مهماً في امتصاص المعادن الثقيلة ومنها الكروم، أما التركيز المنخفض منه فقد كان من الصعوبة تحديد تأثيره في الإزالة بسبب تداخل لون الكروم والحديد لدى قياس الامتصاصية الضوئية.



الشكل 7. تأثير الكاتيونات المضافة في النسبة المئوية المزالة من الكروم

2.3. تحديد طبيعة ارتباط الكروم على البيلون:

تحديد طبيعة ارتباط الكروم على البيلون باستخدام نموذجي لانغمير وفريندليش تجريبياً

رسمت القيمة التجريبية لتركيز الكروم المتبقى لمحاليل كروم صناعية حضرت من كبريتات الكروم وبتركيز 10 g L^{-1} وعولجت بالبيلون الحليبي. خضعت المحاليل المعلقة الحاوية على البيلون لعملية الرج مدة 24 ساعة في درجة حرارة المختبر، ورشحت العينات بعد ذلك وأخذ المحلول الصافي، وقيست امتصاصيته بجهاز التحليل الطيفي (إنتاج شركة Jenway نموذج 6105 V.V/vis) عند طول موجة الامتصاص الأعظمي الموافقة لأيون الكروم الثلاثي (419 نانو متراً).

استُخدم نموذجان لدراسة الارتباط وهما نموذج لانغمير (Langmuir) ونموذج فريندليش (Frendlich)

حسبت كمية الكروم الممتزة على البيلون عند التوازن من معادلة التوازن الكتلي الآتية:

$$q = (C_i - C) \frac{V}{W} \quad (1)$$

إذ: q : كمية أيون الكروم المتوازنة الممتزرة على البيلون (ملغ غ-1)

C_i : تركيز الكروم البدائي في محلول (ملغ ل-1)

C : تركيز الكروم في محلول عند التوازن (ملغ ل-1)

V : حجم محلول العينة (ل)

W : كمية البيلون المضافة (غ)

أما من أجل دراسة انتراز الكروم من البيلون إلى محلول فقد أنجزت التجارب باستخدام البيلون المستخدم في دراسات الامتراز حيث أخذ البيلون المحمي بالكريوم وأضيف له 100 مل من الماء ثانئ التقطر وجرى تحريكه مدة 24 ساعة في درجة حرارة الغرفة ثم رشحت العينة باستخدام فلاتر 0.45 ميكروناً وعُينَ تركيز الكروم المتبقى في محلول. حسبت كمية الكروم الممتزرة من البيلون من المعادلة (1).

يمكن أن يوصف توازن الكروم بين الطورين السائل والصلب (البيلون) بنماذج مختلفة من الامتراز. ومن أجل دراسة سعة الامتراز والانتراز لمتغير واحد، جرى استخدام نموذجي للتوازن للانغمير وفريندليش.

قيم ثوابت لأنغمير

يمكن أن يعدُّ نموذج لأنغمير أفضل نموذج معروف ومطبق تطبيقاً واسعاً على ثوابت الامتراز. يفترض هذا النموذج امترازاً وحيد الطبقة مع توزع متجانس لمواقع الامتراز وطبقات الامتراز، دون تفاعلات بين الجزيئات الممتزرة. أعطى هذا النموذج توافقاً جيداً على طيف واسع من النتائج التجريبية ويمكن تمثيله كالتالي [13]:

$$q = \frac{q_{\max} bC_f}{1 + bC_f} \quad (2)$$

إذ: C_f : تركيز الكروم عند التوازن (ملغ ل-1).

q : كمية أيونات الكروم الممتزرة (ملغ غ-1).

q_{max} : الكمية العظمى من أيونات الكروم لكل واحدة وزن من كتلة البيلون (ملغ غ-1).

b : ثابت توازن الامترار (ل ملغ-1).

يمكن إعادة ترتيب المعادلة (2) للنموذج الخطى الآتى:

$$\frac{1}{q} = \frac{1}{q_{max}} \left(\frac{1}{b} C_f + 1 \right) \quad (3)$$

قيم ثوابت فريندليش

يمكن تطبيق هذا النموذج التجريبى بحالة الامترار على السطوح غير المتجانسة فضلاً عن الامترار المتعدد الطبقات ويعبر عنه بالمعادلة (3)^[13]. وتستخدم قيم ثوابت فريندليش أيضاً استخداماً واسعاً على الرغم من عدم إعطاء معلومات عن سعة الامترار وحيد الطبقة، على العكس من نموذج لانغمير.

$$q = k_f C^{\frac{1}{n}} \quad (4)$$

إذ: C : تركيز الكروم عند التوازن ملغ ل-1.

q : كمية أيونات الكروم الممتزرة ملغ غ-1.

k_f و n : ثوابت ادمصاص فريندليش.

وتستخدم المعادلة (4) كثيراً بشكلها الخطى بأخذ لوغاريتم الطرفين للالمعادلة (4) فتصبح على الشكل الآتى:

$$\log q = \log k_f + \frac{1}{n} \log C \quad (5)$$

سعة امتراز Cr^{+3}

حسبت ثوابت لانغمير من المعادلة (3) بعد رسم العلاقة بين $1/\text{Cf}$ و $1/q$ (الشكل 8)، في حين حسبت ثوابت فريندلش من المعادلة (5) بعد رسم العلاقة بين $(\text{C}) \log$ و $\log(q)$ (الشكل 9). وبين الشكلان (8 و 9) أن عملية احتجاز الكروم بواسطة البيلون في المحاليل ذات تركيز الكروم فيها أقل من 2 غ/ل-1 هي عملية تبادل أيوني. في حين تصبح العملية امترازاً في التراكيز الأعلى من 2 غ/ل-1. ويعزى هذا إلى قيمة n

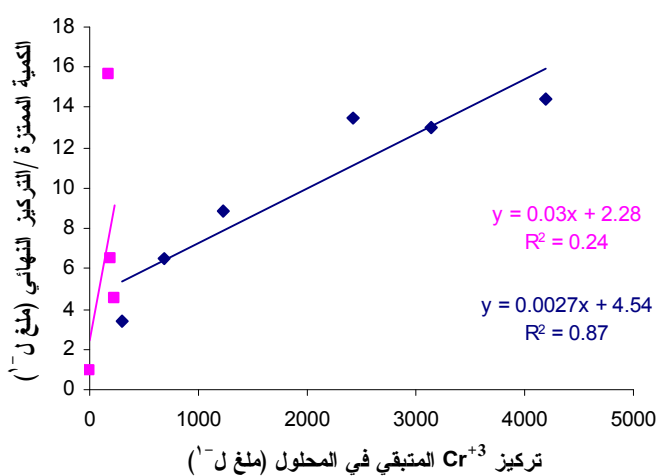
$$\frac{1}{n} > 0.52 = 0 > 1$$

حيث $n < 0.52$ تعطي ألمة عالية بين البيلون والكروم. في حين وبين الجدول (4) أن سعة امتراز Cr^{+3} العظمى بلغت قيمة وقدرها 370.4 ملغ من كل Cr غرام من البيلون. علاوة على ذلك، جرت دراسة عملية انتراز Cr^{+3} عن البيلون وذلك بمقارنة نتائج امترازه بواسطة البيلون مع نتائج انترازه عن البيلون. ولهذه الغالية جرى أخذ البيلون الناجم عن دراسة الامتراز وغمر في 100 مل من الماء المقطر وترك مدة 24 ساعة في درجة حرارة الغرفة (25°C) ثم رشحت العينة وجرى تعين تركيز Cr^{+3} المنتز إلى محلول. أظهرت النتائج أن كمية Cr^{+3} المنتز لا تتجاوز (5%) من كمية Cr^{+3} الممتز (الشكل 10).

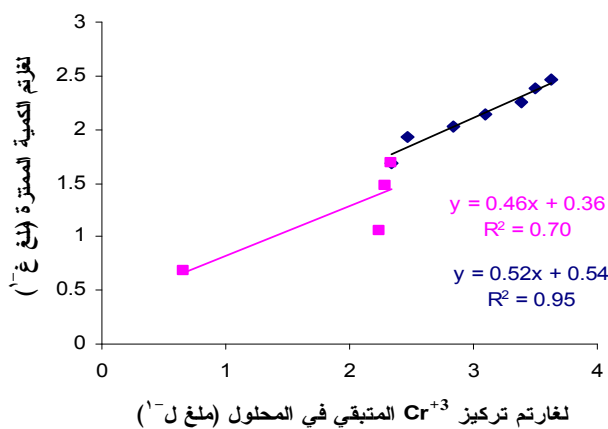
الجدول 4. معاملات الامتراز وحيد الطبقة لنموذجي لانغمير وفريندلش المطبقة على امتراز Cr^{+3}

باستخدام البيلون

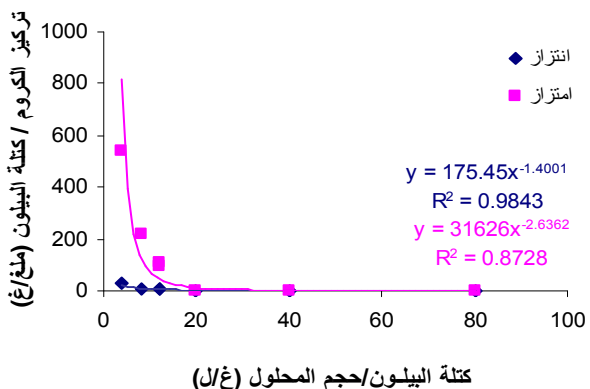
فريندلش			لانغمير		
R^2	k_f	$1/n$	R^2	$(\text{ملغ غ}^{-1}) q_{\max}$	$(\text{ل غ}^{-1}) b$
0.95	3.5	0.52	0.87	370.4	0.0006



الشكل 8. تطبيق معادلة لانغير لامتزاز Cr^{+3} بواسطة البيلون.



الشكل 9. تطبيق معادلة فريندليش لامتزاز Cr^{+3} بواسطة البيلون.



الشكل 10. امتناز Cr^{+3} من محلول بواسطة البيلون وانتزاره عنه.

4. استخدام الطريقة المقترنة لإزالة الكروم من مياه الدباغات:

يبين الجدول (5) تركيز العناصر المعدنية بما فيها الكروم في مياه الدباغة الحقيقة.

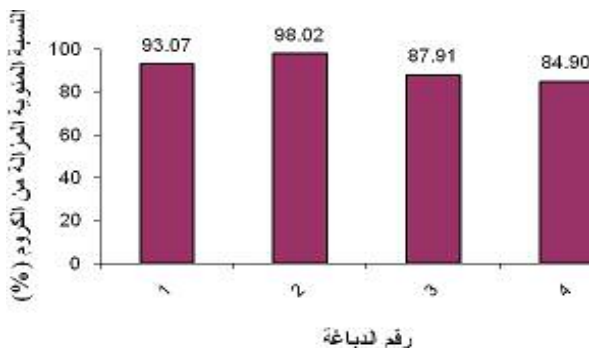
ترواح تركيز الكروم بين $(6.1 \text{ mg/L} \text{ to } 8.4 \text{ mg/L})$.

جرى تطبيق الشروط المثالية التي تم الحصول عليها وفق التجارب المخبرية وهي $\text{pH} = 4$ ودرجة الحرارة 30°C وتركيز البيلون 20 g/L عندما يكون تركيز الكروم في محلول 8 g/L وبيلون ذي نصف قطر حبي $< 90 \text{ ميكرون}$ وזמן مكوث 6 ساعات) على العينات الأربع لمياه الدباغات وكانت النتائج كما هي مبينة في الشكل (11).

الجدول (5) العناصر المعدنية في العينات الحقيقة لمياه الدباغة (ملغ مل $^{-1}$)

الماء	الدباغة 1	الدباغة 2	الدباغة 3	الدباغة 4
Na	24.9 ± 0.3	19.3 ± 0.6	22.5 ± 1.0	23.2 ± 0.6
Fe	< 0.1	< 0.1	< 0.1	< 0.1
Cr	6.1 ± 0.4	8.4 ± 0.2	6.2 ± 0.2	6.4 ± 0.2
Ni	< 0.02	< 0.02	< 0.02	< 0.02
Co	< 0.02	< 0.02	< 0.02	< 0.02
K	< 0.5	< 0.5	< 0.5	< 0.5
Mg	0.4 ± 0.0	0.1 ± 0.0	0.4 ± 0.0	0.4 ± 0.0
Ca	1.0 ± 0.0	1.0 ± 0.0	1.0 ± 0.0	1.0 ± 0.0

يلاحظ من الشكل (11) أن نسبة إزالة الكروم قد تراوحت بين 85 و 98 % ، ويفسر هذا التفاوت وفقاً للتحليل الكيميائي لمياه الدباغات التي نرى فيها أن الدباغة رقم (2) تحتوي على تراكيز أقل من الصوديوم من بقية مياه الدباغات الأخرى، مما أدى إلى إزالة أعلى للكروم من محلوله، وهذا ما يؤكده عامل تأثير تنافس الكاتيونات في نسبة إزالة الكروم.



الشكل 11. النسبة المئوية المزالة من الكروم في عينات مياه الدباغات

2.5. اقتصادييات تقانة المعالجة:

3-5-1 كلفة المعالجة:

عند اختيار تقانة معالجة لابد من إجراء تقدير الكلفة ومقارنتها بين الخيارات المتعددة. تحسب الكلفة الكلية لتقانة ما على الشكل الآتي:

$$\text{الكلفة الكلية} = \text{تكلفة رأس المال} + \text{تكلفة التشغيل السنوية} \\ \text{وذلك خلال مدة عمر الجهاز.}$$

تتألف كلفة رأس المال الكلية من كلفة مباشرة وغير مباشرة تتعلق بالموقع والتركيب فضلاً عن كلفة شراء التجهيزات. بعض التقانات لا تتطلب كثيراً من تحضير الموقف والتركيب، في حين تتطلب تقانات أخرى تحضيرات مكلفة.

البنود التالية تعطي أمثلة عن الكلفة المباشرة وغير المباشرة التي يجب أخذها بالحسبان عند اختيار تقانة المعالجة:

الكلفة المباشرة:

- كلفة التجهيزات (متضمناً أجهزة ملحة، أدوات، أجهزة مراقبة،...الخ).
- التركيب في الموقع
- تحضير الموقع العام للمنشأة من حيث:
 - البناء (جديد أو تجديه)
 - تحضير الأرضية لموقع الأجهزة
 - الخدمة الكهربائية للأجهزة وملحقاتها
 - تمديد الأنابيب
 - التدفئة والتهدية
 - الإنارة
 - التصريف الصحي
 - نظام الإطفاء (المرشات)
 - الدهان والعزل

الكلفة غير المباشرة:

- إدارة المشروع
- الترخيص
- التجارب
- التشغيل

أما كلفة التشغيل السنوية فهي الكلفة السنوية لتشغيل الأجهزة مدة عمرها التي تتضمن كلفة مباشرة وغير مباشرة.

الكلفة المباشرة:

- الآطر العمالية (تدريب ومراقبة وتشغيل)
- مصروفات: كهرباء - ماء - وغيرها
- تجهيزات: مضخات - سكورة - وغيرها
- استهلاكيات: مواد للمعالجة - وغيرها
- صيانة (دورية وغير دورية): مواد - قطع غيار - عمل الصيانة - كلفة المعالجة في أوقات تعطل محطة المعالجة أو يقافها للصيانة

الكلفة غير المباشرة:

- نفقات عامة
- كلفة الإدارة
- تأمين
- كلفة الرخص السنوية
- الفحوصات الدورية

ومن ثم تكون الكلفة الكلية مساوية لمجموع تكاليف رأس المال مضافةً إليها كلفة التشغيل السنوية خلال مدة عمر الجهاز .

3-5-2 مقارنة اقتصادية بين الطرق المختلفة لإزالة الكروم من مياه الصرف الناتجة عن دباغة الجلد

يبين الجدول (6) الكلفة التشغيلية لبعض تقانات المعالجة لإزالة الكروم من مياه الصرف الناتجة عن دباغة الجلد وكفاءة الإزالة ومقارنتها بالمعالجة بالبليون الحلبي .

الجدول (6): كلفة بعض تقانات المعالجة لإزالة الكروم. المصدر [14].

نسبة الإزالة %	تكلفة مواد المعالجة \$/m3	طريقة المعالجة
%98	20	باستخدام البيلون الحلي
%85	1175	باستخدام الفحم الغعال
%79	450	باستخدام كلور الحديد
%89	775	باستخدام كبريتات الألمنيوم
%95	300	باستخدام هيدروكسيد الكالسيوم

يلاحظ من الجدول أعلاه أن استخدام البيلون الحلي لإزالة الكروم من مياه الصرف الناتجة عن دباغة الجلد هو الأقل كلفة والأكثر كفاءة بمقارنتها مع الطرائق الأخرى. الاستنتاجات:

نستنتج من الدراسة ما يأتي:

إن أفضل الشروط للحصول على أكبر نسبة لإزالة الكروم من مياه الدباغات هي: $\text{PH}=4$ ، درجة الحرارة 30° مئوية، سرعة الرج 200 دورة/الدقيقة، تركيز البيلون 20 g/L عندما يكون تركيز الكروم في المحلول 0.8 g/L ، وبيلون ذي نصف قطر حبيبي أصغر من 90 ميكرون ، ومرة مكوث للبيلون تساوي 6 ساعات، تكون نسبة الإزالة (97%).

تنقص سعة التبادل الأيوني للكروم على البيلون بازدياد تركيز الكاتيونات ($\text{Na}, \text{k}, \text{Ca}$) في مياه الدباغة.

إن عملية إزالة الكروم بالبيلون هي عملية تبادل أيوني وفق قانون فريندليش. وجود علاقة غير خطية لامتراز الكروم على البيلون عند تطبيق نموذجي لانغمير وفريندليش.

إن استخدام البيلون بتركيز أعلى من (20 g/L) في إزالة الكروم يؤدي إلى اختفاء ظاهرة الانتراز وعودة شوارد الكروم إلى المحلول ومن ثم يمكن استخدام البيلون المحتجز للكروم بشكل آمن.

تعد الطريقة المقترحة ناجحة لإزالة الكروم من مياه الدباغة الحقيقية، ويمكن أن تكون حللاً بيئياً لمشكلة الصرف الصناعي الناجم عن صناعة الدباغة في سوريا.

المراجع

- [1] Abdel-Aal, S. E.; Sokker, H. H.; Dessouki, A. M., 2002, **Removal of Some Heavy Metals by Natural and Synthetic Materials and Effect of Gamma-Radiation**, Arab Journal of Nuclear Sciences and Applications, 35, 1, 57-70.
- [2] Auboiroux, M.; Baillif, P.; Touray, Jc.; Bergaya, F., 1996, **Fixation of Zn²⁺ and Pb²⁺ by a Ca-Montmorillonite in Brines and Dilute Solutions: Preliminary Results**, Appl. Clay Sci., 11, 117-126.
- [3] Bishop, P. L., 2002, **Pollution Prevention: Fundamentals and Practice**. Beijing: Tsinghua University Press.
- [4] Gaefvert, T., 2002, **The Prevalence of Radioactivity in a Number of Non-Nuclear Industries**, Lund (Sweden) Lund Univ., Aug, 125.
- [5] Gardea-Torresdey, J. L.; Hernandez, A.; Tiemann, K.J.; Bibb, J.; Rodriguez, O., 1998, **Adsorption of Toxic Metal Ions From Solution by Inactivated Cells of Larrea Tridentata (Creosote Bush)**, Journal of Hazardous Substance Research, 1.
- [6] Gavrilesca, M., 2004, **Removal of Heavy Metals from the Environmental by Biosorption**, Eng Life Sci., 4, 219–32.
- [7] Khamis, I.; Al-Masri, M. S.; Sarheel, A.; Al-Somel, N., 2001, **Evaluation of Trace-Element Pollution in Barada River Environment by Instrumental Neutron Activation Analysis**, Journal of Radioanalytical and Nuclear Chemistry, 251, 2, 227-231.
- [8] Krauter, P. W.; Martinelli, R.; Martins, S., 1995, **Removal of Cr(VI) From Ground Water by Saccharomyces Cerevisiae**, UCRL-JC-119566.
- [9] Lee, K. J.; Song, K. C.; Kim, H. D.; Lee, H. K.; Park, H. S., 1997, **Adsorption Characteristics of Radiotoxic Cesium and Iodine from Low-Level Liquid Wastes**, Journal of Radioanalytical and Nuclear Chemistry, 223, 1-2, 199-205.
- [10] Nasreen, S.; Khwaja, M. A., 2003, **Studies on Quality of sub-Surface Water around Tanneries in some Areas of North West Frontier Province (NWFP) Pakistan**, Science-Technology-and-Development, 22, 1, 49-51.
- [11] Norton, L.; Baskaran, K.; McKenzie, S.T., 2004, **Biosorption of Zinc from Aqueous Solutions Using Biosolids**, Advances in Environmental Research, 8, 629-635.

- [12] Smith, J.; Galan, A., 1995, **Nonionic Solution Sorption to Single and Dual Organic Cation Organobentonites from Water**, Env. Sci. and Tech., 29, 685-692.
- [13] Volesky, B., 1990, **Biosorption and Biosorbents**, In: Biosorption of Heavy Metals. Florida: CRC press, 3–5.
- [14] Yildiz, N.; Kapucu, H.; Calimli, A., 2003, **Adsorption of 4-Toluene Sulfonic Acid on Modified Bentonite: Optimization by Response Surface Methodology**, J. Eng. Env. Sci., 27, 396-407.
- [15] شيخ إسماعيل زاده، م. ن.، 2004، استعمال البيلون الحلي في معالجة مياه الجفت الناتجة عن معاصر الزيتون، رسالة دكتوراه، جامعة حلب.
- [16] عبد العزيز، رز؛ أنتكلي، س.؛ الحاج صكر، أ.، 2000، التحليل الكروماتوغرافي الغازي لبعض المركبات الدوائية باستخدام عمود من البيلون الحلي بالتطعيم، أسبوع العلم الأربعون، (اللانقية).
- [17] عبد العزيز، رز؛ أنتكلي، س.؛ الحاج صكر، أ.؛ لحمق، م.، 2004، تعديل البنتونيات الجزائري واستخدامه كحامل في الكروماتوغرافيا الغازية، الهند للكيمايا ، 16 ، 89-95.
- [18] كاخيا، ح.، 2006، تحضير مواد مازة لبعض الملوثات العضوية بغية التخلص منها في البيئة المائية، رسالة دكتوراه، جامعة حلب.

تاريخ ورود البحث إلى مجلة جامعة دمشق: 2009/5/18